

ECUST

Mécanique des Fluides  
Partie A  
Introduction

Prof. René Muller  
01/22

Introduction

- Grandeurs caractéristiques en mécanique des fluides
- Champs scalaires et vectoriels
- Notion de particule fluide
- Outils mathématiques fondamentaux

Grandeurs caractéristiques en mécanique des fluides

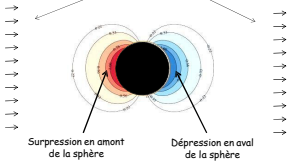
Grandeurs liées à l'écoulement		Unités SI	Dimensions
Vitesse du fluide:	vecteur $\vec{v}$	$m \cdot s^{-1}$	$LT^{-1}$
Accélération du fluide:	vecteur $\vec{a}$	$m \cdot s^{-2}$	$LT^{-2}$
Pression dans le fluide:	scalaire $p$	$Pa = N \cdot m^{-2}$	$MLT^{-2}$
Température dans le fluide	scalaire $T$	K	$\theta$
Propriétés du fluide			
Masse volumique :	scalaire $\rho$	$kg \cdot m^{-3}$	$ML^{-3}$
Viscosité dynamique:	scalaire $\eta$	$Pa \cdot s$	$MLT^{-1}$
Viscosité cinématique:	scalaire $\nu \left( = \frac{\eta}{\rho} \right)$	$m^2 \cdot s^{-1}$	$L^2T^{-1}$
Autres grandeurs			
Accélération de la pesanteur:	vecteur $\vec{g}$	$m \cdot s^{-2}$	$LT^{-2}$

Un exemple typique: écoulement d'un fluide autour d'une sphère fixe

On se place à un instant donné

Vitesse incidente uniforme loin de la sphère

Pression uniforme  
loin de la sphère



Pression uniforme  
loin de la sphère

La pression (à l'instant considéré)  
dépend des coordonnées d'espace:

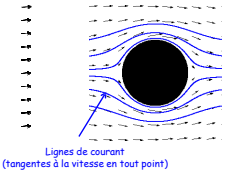
$$p = p(x, y, z)$$

Champ (scalaire) de pression  
à un instant donné

Un exemple typique: écoulement d'un fluide autour d'une sphère fixe

On se place à un instant donné

vitesse uniforme  
loin de la sphère



vitesse uniforme  
loin de la sphère

La vitesse (à l'instant considéré)  
dépend des coordonnées d'espace:

$$\vec{v} = \vec{v}(x, y, z) = \begin{pmatrix} v_x(x, y, z) \\ v_y(x, y, z) \\ v_z(x, y, z) \end{pmatrix}$$

Champ (vectoriel) de vitesse  
à un instant donné

Notion de particule fluide

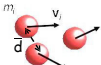
L: échelle macroscopique



volumé: V

Échelle du système étudié  
(conduite, pompe, obstacle  
dans un flux...)

d: échelle microscopique ou moléculaire



$\vec{d}$ : distance intermoléculaire dans un liquide libre  
parcours moyen dans un gaz

$\vec{v}, p, \rho$  sont discontinus à cette échelle

En mécanique des fluides on ne définit pas  
les grandeurs à l'échelle moléculaire

Notion de particule fluide

$L_p$ : méchette mésoscopique

L: échelle macroscopique



volumé: V

$L_p$ : méchette mésoscopique



volumé: dV

$\vec{d}$ : échelle microscopique

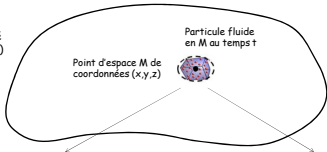


Une particule fluide contient un grand nombre de molécules mais sa taille reste  
très inférieure à celle du système étudié

Les propriétés du fluide en un point d'espace sont les moyennes des propriétés des  
molécules contenues dans la particule fluide

Les grandeurs physiques sont continues dans le fluide

Système étudié  
(macroscopique)



Particule fluide  
en M au temps t

dV: volume de la particule fluide  $M(x, y, z) \leftarrow dV$

dm: masse de la particule fluide

$$\rho(x, y, z, t) = \frac{dm}{dV} \quad : \text{masse volumique du fluide en } (x, y, z) \text{ et au temps } t$$

$$\vec{v}(x, y, z, t) \quad : \text{vitesse moyenne des molécules dans la particule fluide}$$

Outils mathématiques en mécanique des fluides

L'opérateur gradient (ou « nabilia »):  $\vec{\nabla}$

C'est un vecteur de coordonnées cartésiennes:

$$\left( \frac{\partial}{\partial x}, \frac{\partial}{\partial y}, \frac{\partial}{\partial z} \right)$$

$$\vec{\nabla} = \vec{e}_x \frac{\partial}{\partial x} + \vec{e}_y \frac{\partial}{\partial y} + \vec{e}_z \frac{\partial}{\partial z}$$

$\vec{\nabla}$  peut opérer sur un champ scalaire (par exemple le champ de pression  $p(x, y, z, t)$ )

$$\vec{\nabla} p = \begin{pmatrix} \frac{\partial p}{\partial x} \\ \frac{\partial p}{\partial y} \\ \frac{\partial p}{\partial z} \end{pmatrix} \begin{matrix} \text{à } y, z, t \text{ constants} \\ \text{à } x, z, t \text{ constants} \\ \text{à } y, z, t \text{ constants} \end{matrix} = \vec{e}_x \frac{\partial p}{\partial x} + \vec{e}_y \frac{\partial p}{\partial y} + \vec{e}_z \frac{\partial p}{\partial z}$$

Le gradient du champ scalaire p  
est un champ vectoriel

Définition: Une champ de vitesse  $\vec{v}(x, y, z)$  dérive d'un potentiel  $\phi$  s'il existe  
un champ scalaire  $\phi(x, y, z)$  tel que  $\vec{v} = \vec{\nabla} \phi$

Outils mathématiques en mécanique des fluides

L'opérateur  $\vec{\nabla}$  peut opérer de différentes façons sur un champ vectoriel (par exemple  $\vec{v}$ ):

La divergence de  $\vec{v}$  est le produit scalaire de  $\vec{\nabla}$  et de  $\vec{v}$ :

$$\text{div}(\vec{v}) = \vec{\nabla} \cdot \vec{v} = \left( \vec{e}_x \frac{\partial}{\partial x} + \vec{e}_y \frac{\partial}{\partial y} + \vec{e}_z \frac{\partial}{\partial z} \right) \cdot (v_x \vec{e}_x + v_y \vec{e}_y + v_z \vec{e}_z) = \frac{\partial v_x}{\partial x} + \frac{\partial v_y}{\partial y} + \frac{\partial v_z}{\partial z}$$

La divergence d'un champ vectoriel est un (champ) scalaire

L'expression est simple en coordonnées cartésiennes car les vecteurs de base  $\vec{e}_x, \vec{e}_y, \vec{e}_z$  sont indépendants des coordonnées

Outils mathématiques en mécanique des fluides

L'opérateur  $\vec{\nabla}$  peut opérer de différentes façons sur un champ vectoriel :

$$\text{rot}(\vec{v}) = \vec{\nabla} \times \vec{v} = \begin{pmatrix} \frac{\partial}{\partial x} \\ \frac{\partial}{\partial y} \\ \frac{\partial}{\partial z} \end{pmatrix} \times \begin{pmatrix} v_x \\ v_y \\ v_z \end{pmatrix} = \begin{pmatrix} \frac{\partial v_z}{\partial y} - \frac{\partial v_y}{\partial z} \\ \frac{\partial v_x}{\partial z} - \frac{\partial v_z}{\partial x} \\ \frac{\partial v_y}{\partial x} - \frac{\partial v_x}{\partial y} \end{pmatrix}$$

L'expression est simple en coordonnées cartésiennes car les vecteurs de base  $\vec{e}_x, \vec{e}_y, \vec{e}_z$  sont indépendants des coordonnées

Le rotationnel de  $\vec{v}$  est le produit vectoriel de  $\vec{\nabla}$  et de  $\vec{v}$ :

Définition: un champ de vitesse est irrotationnel si  $\vec{\nabla} \times \vec{v} = 0$  en tout point de l'espace

Outils mathématiques en mécanique des fluides

Le Laplacien est le produit scalaire de  $\vec{\nabla}$  par lui-même. C'est un opérateur et un scalaire :

$$\vec{\nabla} \cdot \vec{\nabla} = \nabla^2 = \left( \frac{\partial}{\partial x} \frac{\partial}{\partial x} + \frac{\partial}{\partial y} \frac{\partial}{\partial y} + \frac{\partial}{\partial z} \frac{\partial}{\partial z} \right) = \frac{\partial^2}{\partial x^2} + \frac{\partial^2}{\partial y^2} + \frac{\partial^2}{\partial z^2}$$

L'expression est simple en coordonnées cartésiennes car les vecteurs de base  $\vec{e}_x, \vec{e}_y, \vec{e}_z$  sont indépendants des coordonnées

Le Laplacien peut opérer sur un champ scalaire (comme la température) :

$$\nabla^2 T = \frac{\partial^2 T}{\partial x^2} + \frac{\partial^2 T}{\partial y^2} + \frac{\partial^2 T}{\partial z^2}$$

Le résultat est un champ scalaire

Le Laplacien peut opérer sur un champ vectoriel (comme la vitesse) :

$$\nabla^2 \vec{v} = \nabla^2 \begin{pmatrix} v_x \\ v_y \\ v_z \end{pmatrix} = \begin{pmatrix} \frac{\partial^2 v_x}{\partial x^2} + \frac{\partial^2 v_x}{\partial y^2} + \frac{\partial^2 v_x}{\partial z^2} \\ \frac{\partial^2 v_y}{\partial x^2} + \frac{\partial^2 v_y}{\partial y^2} + \frac{\partial^2 v_y}{\partial z^2} \\ \frac{\partial^2 v_z}{\partial x^2} + \frac{\partial^2 v_z}{\partial y^2} + \frac{\partial^2 v_z}{\partial z^2} \end{pmatrix}$$

Le résultat est un champ vectoriel

ECUST

Mécanique des Fluides

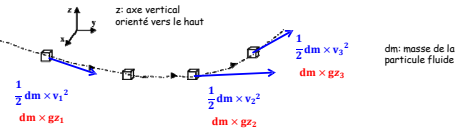
Partie B

Equation de Bernoulli / première approche

Equation de Bernoulli / première approche

- Conservation de l'énergie mécanique d'un fluide parfait
- Application aux écoulements externes
  - Pression d'arrêt, force de traînée
- Application aux écoulements internes
  - Débitmètre de Venturi, conduite cylindrique de section constante

Energie mécanique d'une particule fluide le long de sa trajectoire

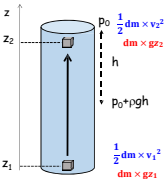


Energie cinétique par unité de masse:  $\frac{1}{2} v^2$  ( $v^2 = \vec{v} \cdot \vec{v} = \|\vec{v}\|^2$ ) Unités:  $m^2 s^{-2} = J kg^{-1}$

Energie potentielle de pesanteur par unité de masse:  $g \times z$   $J kg^{-1}$

Une troisième forme d'énergie mécanique est liée au travail des forces de pression

Travail des forces de pression



Écoulement vertical d'un fluide incompressible (d'un liquide) dans une conduite de section constante:  $\Rightarrow v_1 = v_2$

Si l'écoulement est très lent (frottements négligeables), la pression est la pression hydrostatique:  $p = p_0 + \rho gh$

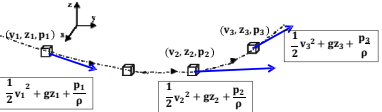
Variation d'énergie potentielle massique entre 1 et 2:  $g(z_2 - z_1) > 0$

Variation de pression entre 1 et 2:  $p_2 - p_1 = \rho g (z_1 - z_2) < 0$

$$\frac{p_2}{\rho} + gz_2 = \frac{p_1}{\rho} + gz_1$$

Si la vitesse est constante, la quantité:  $\frac{p}{\rho} + gz$  se conserve

Equation de Bernoulli



Si on vérifie les deux hypothèses:

- fluide « incompressible »:  $\rho = \text{Cst}$   
C'est en pratique le cas d'un liquide ou d'un gaz à faible vitesse
- fluide « parfait »: viscosité nulle  
en pratique c'est une approximation car tous les fluides réels ont une viscosité

$$\frac{1}{2} v^2 + gz + \frac{p}{\rho} = \text{Cst}$$

le long d'une trajectoire

Cette forme simplifiée de l'équation de Bernoulli ne s'applique que si les frottements visqueux sont négligeables. Le cas des fluides visqueux sera discuté plus loin.

Equation de Bernoulli

On peut montrer que si l'écoulement est de plus irrotationnel et stationnaire:

$$\vec{\nabla} \times \vec{v} = \vec{0} \quad \frac{\partial \vec{v}}{\partial t} = \vec{0}$$

Alors:  $\frac{1}{2} v^2 + gz + \frac{p}{\rho}$  est uniforme (identique pour toutes les particules fluides)

$\rho = \text{Cst}$ , frottements négligeables  $\left\{ \begin{array}{l} \vec{\nabla} \times \vec{v} = \vec{0} \\ \frac{\partial \vec{v}}{\partial t} = \vec{0} \end{array} \right\} \Rightarrow \left( \frac{1}{2} v^2 + gz + \frac{p}{\rho} \right) = \vec{0}$

L'énergie mécanique massique est uniforme dans le fluide, c'est-à-dire identique pour toutes les trajectoires

Applications de l'équation de Bernoulli **Ecoulements externes**

Ecoulement horizontal stationnaire d'un fluide autour d'un obstacle fixe:

Pression uniforme  $p_0$  loin de l'obstacle

Vitesse incidente  $v_0$  horizontale et uniforme loin de l'obstacle

Point d'arrêt:  $(v = 0, z, p)$

Pour une trajectoire particulière, la vitesse s'annule sur l'obstacle

Equation de Bernoulli pour cette trajectoire:

$$\frac{1}{2} v_0^2 + gz + \frac{p_0}{\rho} = gz + \frac{p}{\rho}$$

$p = p_0 + \frac{1}{2} \rho v_0^2$  Pression d'arrêt

Applications de l'équation de Bernoulli **Ecoulements externes**

Sonde ou anémomètre de Pitot (mesure de la vitesse d'un fluide):

Trajectoire A:  $p_{A1} = p_{A0} + \frac{1}{2} \rho v_{A0}^2$

$A_1$ : point d'arrêt

Trajectoire B:  $p_{B1} + \frac{1}{2} \rho v_{B1}^2 = p_{B0} + \frac{1}{2} \rho v_{B0}^2$

$\Rightarrow p_{A1} - p_{B1} = \frac{1}{2} \rho v_{B1}^2$

On mesure  $p_{A1}$  et  $p_{B1}$

On en déduit:  $v_{B1} = \sqrt{\frac{2(p_{A1} - p_{B1})}{\rho}}$

Si  $v_{B1} = v_{B0}$  on mesure la vitesse incidente:

Vitesse incidente uniforme:  $v_{A0} = v_{B0}$

Pression uniforme loin de l'obstacle:  $p_{A0} = p_{B0} = p_0$

$v_{B0} = \sqrt{\frac{2(p_{A1} - p_{B1})}{\rho}}$

Applications de l'équation de Bernoulli **Ecoulements externes**

Force de traînée

Soit un obstacle fixe, ici une plaque plane perpendiculaire au flux incident

$p_A, v_A = 0$

$p_0, v_0$

Surpression

Dépression

Force de traînée

Si tous les points sur la surface amont étaient des points d'arrêt et en ne prenant en compte que la surpression, on aurait:

$$F_{\text{traînée}} = S \times (p_A - p_0) = S \times \frac{1}{2} \rho v_0^2$$

$S$ : aire de la surface amont

Cette expression de la force de traînée correspond à un fluide parfait ou lorsque les forces visqueuses sont négligeables

Applications de l'équation de Bernoulli **Ecoulements externes**

Force de traînée et coefficient de traînée

En réalité, on doit tenir compte de la forme de l'obstacle

Point d'arrêt

OBSTACLE

$S$

La pression n'est pas partout égale à la pression d'arrêt et on doit également tenir compte de la dépression en aval:

On introduit un coefficient de traînée adimensionnel  $C_x$ :

$$F_{\text{traînée}} = S(p_A - p_0) \times C_x = S \left[ \frac{1}{2} \rho v_0^2 \right] \times C_x$$

Surface projetée de l'obstacle

Pression d'arrêt

Coefficient de traînée

Ce coefficient de traînée tiendra également compte des forces de frottement visqueuses et donc de la viscosité du fluide

Applications de l'équation de Bernoulli **Ecoulements internes**

Ecoulement stationnaire dans une conduite cylindrique horizontale

Débits faibles - écoulement laminaire

Pour des débits suffisamment faibles, la vitesse du fluide varie avec le rayon suivant une loi parabolique.

Forces visqueuses prédominantes

Débit volumique:  $D_v = v \, dS = 2\pi r \times v \, r \, dr$  ( )

Débit massique:  $D_m = \rho v \, dS$

Vitesse moyenne:  $\bar{v} = \frac{D_v}{S}$

Fluide incompressible:  $D_m = \rho \times D_v$

Applications de l'équation de Bernoulli **Ecoulements internes**

Ecoulement stationnaire dans une conduite cylindrique horizontale

Débits élevés - écoulement turbulent

$v(r) \approx \text{Cst}$

Pour des débits plus élevés la vitesse du fluide varie peu avec le rayon et peut être considérée comme uniforme.

Fluide parfait ou forces visqueuses négligeables

Débit volumique:  $D_v = v \, dS = \pi R^2 v_0$

Débit massique:  $D_m = \rho \times D_v$

Vitesse moyenne:  $\bar{v} = \frac{D_v}{S} = v_0$

Fluide incompressible:  $D_m = \rho \times S \times v_0$

Applications de l'équation de Bernoulli **Ecoulements internes**

Ecoulement dans une conduite cylindrique - fluide parfait

conduite horizontale de section  $S$  constante

$S$

$V_1, p_1, z_1$

$V_2 = V_1, p_2, z_2 = z_1$

Ecoulement stationnaire:  $D_{m2} = D_{m1}$

Fluide incompressible:  $\rho_2 = \rho_1 \Rightarrow D_{v2} = D_{v1} \Rightarrow v_2 = v_1$

Bernoulli:  $\frac{1}{2} v_1^2 + p_1 + \frac{1}{\rho} = \frac{1}{2} v_2^2 + p_2 + \frac{1}{\rho}$

$\Rightarrow p_2 = p_1$

Pas de perte de charge pour un fluide parfait

Applications de l'équation de Bernoulli **Ecoulements internes**

Ecoulement dans une conduite cylindrique - fluide parfait

conduite horizontale de section  $S$  constante

$S$

$V_1, p_1, z_1$

$V_2 = V_1, p_2, z_2 = z_1$

Ecoulement stationnaire:  $D_{m2} = D_{m1}$

Fluide incompressible:  $\rho_2 = \rho_1 \Rightarrow D_{v2} = D_{v1} \Rightarrow v_2 = v_1$

Bernoulli:  $\frac{1}{2} v_1^2 + p_1 + \frac{1}{\rho} = \frac{1}{2} v_2^2 + p_2 + \frac{1}{\rho}$

$\Rightarrow p_2 = p_1$

Pas de perte de charge pour un fluide parfait

Applications de l'équation de Bernoulli **Ecoulements internes**

Ecoulement dans une conduite cylindrique - fluide parfait

conduite inclinée de section  $S$  constante

$S$

$V_1, p_1, z_1$

$V_2 = V_1, p_2, z_2 \neq z_1$

Ecoulement stationnaire:  $D_{m2} = D_{m1}$

Fluide incompressible:  $\rho_2 = \rho_1 \Rightarrow D_{v2} = D_{v1} \Rightarrow v_2 = v_1$

Bernoulli:  $\frac{1}{2} v_1^2 + p_1 + \frac{1}{\rho} = \frac{1}{2} v_2^2 + p_2 + \frac{1}{\rho}$

$\Rightarrow p_2 + \rho g z_2 = p_1 + \rho g z_1$

Pression motrice constante pour un fluide parfait

Applications de l'équation de Bernoulli **Ecoulements internes**  
Ecoulement dans une conduite cylindrique - Fluide parfait

conduite horizontale de section variable

Ecoulement stationnaire:  $D_{m2} = D_{m1}$   
Fluide incompressible:  $\rho_2 = \rho_1 \Rightarrow D_{v2} = D_{v1} \Rightarrow S_2 v_2 = S_1 v_1$

Bernoulli:  $\frac{1}{2} v_1^2 + \frac{p_1}{\rho} + \frac{1}{2} v_2^2 + \frac{p_2}{\rho}$   
 $\Rightarrow p_1 - p_2 = \frac{1}{2} \rho (v_2^2 - v_1^2) = \frac{\rho v_1^2}{2} \left( 1 - \left( \frac{S_2}{S_1} \right)^2 \right)$

Ici, pour un rétrécissement:  $S_2 < S_1$   $v_2 > v_1$   $p_2 < p_1$  **Effet Venturi**

ECUST

**Mécanique des Fluides**

**Partie C**

Equation d'Euler / forme locale et forme macroscopique

Equation d'Euler - Forme locale  
Principe fondamental de la dynamique pour une particule fluide

Seconde loi de Newton pour une particule fluide:  $dm \times \vec{a} = d\vec{F}$

$\vec{v}$  vitesse  $\vec{a} = \frac{D\vec{v}}{Dt}$  Dérivée « particulaire » de la vitesse  
 $\vec{a}$  accélération Dérivée par rapport au temps de la vitesse d'une particule fluide

$d\vec{F}$  forces exercées sur la particule fluide

$dm \times \vec{g}$  : poids  
Forces de pression } **hydrostatique**  
Forces de pression  
Forces de frottement (fluides réels) } **hydrodynamique**

Equation d'Euler - Forme locale  
Fluide au repos - hydrostatique

Particule fluide de volume  $dx dy dz$  au point d'espace  $M(x,y,z)$

Hydrostatique  $\Rightarrow$  accélération = 0  
 $dm \times \vec{a} = 0 = dm \times \vec{g} + d\vec{F}(\text{pression})$

Poids dirigé selon l'axe vertical z  
 $\Rightarrow$  **Résultante des forces de pression dirigée selon z**

Equation d'Euler - Forme locale  
Fluide au repos - hydrostatique

Forces de pression sur une particule fluide  $dx dy dz$ :

Projection suivant z:  
 $-p \hat{e}_z + dz \hat{y} dx + p \hat{x} dy dz = - \frac{\partial p}{\partial z} dx dy dz$

Projections suivant x et y:  
 $p(x + dx) = p(x)$   $p(y + dy) = p(y)$

Pression uniquement fonction de z:  $\Rightarrow d\vec{F}(\text{pression}) = - \left( \frac{0}{0} \frac{dp}{dz} \right) dV$

Equation d'Euler - Forme locale  
Fluide au repos - hydrostatique

Equation d'Euler (hydrostatique)  $dm \times \vec{g} + d\vec{F}(\text{pression}) = 0 \Leftrightarrow dm \begin{pmatrix} 0 \\ 0 \\ -g \end{pmatrix} - \begin{pmatrix} 0 \\ 0 \\ \frac{dp}{dz} \end{pmatrix} dV = \begin{pmatrix} 0 \\ 0 \\ 0 \end{pmatrix}$

$\frac{dm}{dV} = \rho$  masse volumique de la particule fluide  
Projection selon z:  $\rho g + \frac{dp}{dz} = 0$

Si  $\rho = \text{Cst}$  (liquides), l'intégration est évidente:  **$p + \rho g z = \text{Cst}$**

Définition:  $p = p_0 + \rho g z$  est appelée "pression matrice"  
 $p$  est définie à une constante près  $z$  est toujours un axe vertical orienté vers le haut

Equation d'Euler - Forme locale  
Fluide parfait en mouvement - hydrodynamique

Equation d'Euler (fluide parfait):  $dm \times \vec{g} + d\vec{F}(\text{pression}) = dm \times \vec{a}$

Pression a priori fonction de x, y et z:  $\Rightarrow d\vec{F}(\text{pression}) = - \begin{pmatrix} \frac{\partial p}{\partial x} \\ \frac{\partial p}{\partial y} \\ \frac{\partial p}{\partial z} \end{pmatrix} dV = - \vec{\nabla} p \times dV$

Equation d'Euler:  $dm \times \vec{a} = dm \times \vec{g} - dV \times \vec{\nabla} p$

En divisant par  $dV$ :  **$\rho \vec{a} = \rho \vec{g} - \vec{\nabla} p$**

Equation d'Euler - Forme macroscopique

On écrit la deuxième loi de Newton sur un système macroscopique

Pour l'écoulement d'un fluide dans une conduite, le système est le volume de contrôle correspondant au contenu de la conduite

L'équation d'Euler prend une forme simple avec les hypothèses suivantes:

- Vitesse uniforme sur les sections d'entrée et de sortie
- Ecoulement stationnaire
- Une seule entrée - une seule sortie

Toutes les forces exercées sur le système:

- Le poids du fluide
- Les forces de pression en entrée et en sortie
- La force  $F_x$  (pression et frottement) exercée par la paroi interne de la conduite sur le fluide

$D_m \times (\vec{v}_{\text{sortie}} - \vec{v}_{\text{entrée}}) = \dots$   
sur le système

Equation d'Euler - Forme macroscopique  
Conduite droite horizontale de section constante  $S_1 = S_2 = S$

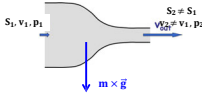
Si le fluide est incompressible:  $\vec{v}_{\text{entrée}} = \vec{v}_1 = \vec{v}_{\text{sortie}} = \vec{v}_2$   
 $D_m \times (\vec{v}_2 - \vec{v}_1) = 0$   
sur le système

Projection des forces suivant l'axe de l'écoulement:  
 $p_1 \times S - p_2 \times S + F_x = 0$

Si le fluide est parfait:  $p_2 = p_1$  (Bernoulli) et  $F_x = 0$  Pas de force dans le sens de l'écoulement

Pour un fluide réel:  $p_2 < p_1$  et  $F_x < 0$  Le fluide exerce une force de frottement  $-F_x = S(p_1 - p_2)$  dans le sens de l'écoulement sur la paroi interne de la conduite

**Equation d'Euler - Forme macroscopique**  
Conduite droite horizontale de section variable, exemple d'une contraction



Si le fluide est incompressible:  $S_1 v_1 = S_2 v_2$

$$D_m \times (\vec{v}_2 - \vec{v}_1) = \vec{0} \quad \text{sur le système}$$

Projection de l'équation d'Euler suivant l'axe de l'écoulement:

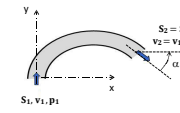
$$D_m (\vec{v}_2 - \vec{v}_1) = p_1 S_1 - p_2 S_2 + F_x$$

On peut calculer  $F_x(p_1, S_1, S_2, \rho, D_m) \neq 0$

Si le fluide est parfait:  $p_1 = p_2 = \frac{\rho}{2} \left( 1 - \left( \frac{S_2}{S_1} \right)^2 \right)$

**Le fluide exerce une force sur la paroi interne de la conduite même s'il est parfait**

**Equation d'Euler - Forme macroscopique**  
Coude de section constante dans un plan horizontal xy



Si le fluide est incompressible:  $\|\vec{v}_1\| = \|\vec{v}_2\|$  mais ici  $\vec{v}_1 \neq \vec{v}_2$

$$D_m \times (\vec{v}_2 - \vec{v}_1) = \vec{0} \quad \text{sur le système}$$

Projection de l'équation d'Euler suivant deux axes:

**X:**  $D_m v_2 \cos(\alpha) = -p_2 S \cos(\alpha) + F_x$

**Y:**  $-D_m v_2 \sin(\alpha) - D_m v_1 = p_1 S + p_2 S \sin(\alpha) + F_y$

On peut calculer  $F_x$  et  $F_y \neq 0$  en fonction de  $D_m, S, \alpha$

**Le fluide exerce une force sur la paroi interne de la conduite même s'il est parfait**

ECUST

## Mécanique des Fluides

## Partie D

Cinématique / description d'Euler et de Lagrange

**Cinématique**  
Description d'Euler du champ de vitesse

Vecteur vitesse en coordonnées cartésiennes:  $\vec{v} = v_x \vec{e}_x + v_y \vec{e}_y + v_z \vec{e}_z$

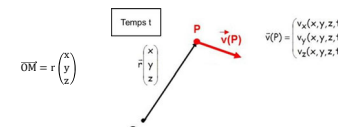
Dans une description d'Euler, la vitesse est donnée en fonction des coordonnées d'espace et du temps:

$$\vec{v} = \vec{v}(x, y, z, t) \quad \text{ou} \quad \begin{cases} v_x = v_x(x, y, z, t) \\ v_y = v_y(x, y, z, t) \\ v_z = v_z(x, y, z, t) \end{cases}$$

*Il faut bien faire la différence entre une particule fluide (P) et un point d'espace (M)*

**Cinématique**  
Description d'Euler du champ de vitesse

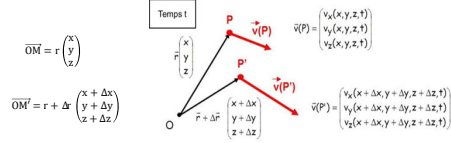
$\vec{v}(P)$  est la vitesse d'une particule P située au point d'espace M(x,y,z) au temps t



$$\vec{v}(P) = \begin{pmatrix} v_x(x, y, z, t) \\ v_y(x, y, z, t) \\ v_z(x, y, z, t) \end{pmatrix}$$

**Cinématique**  
Description d'Euler du champ de vitesse

$\vec{v}(P')$  est la vitesse d'une autre particule P' située au point d'espace M' au même temps t



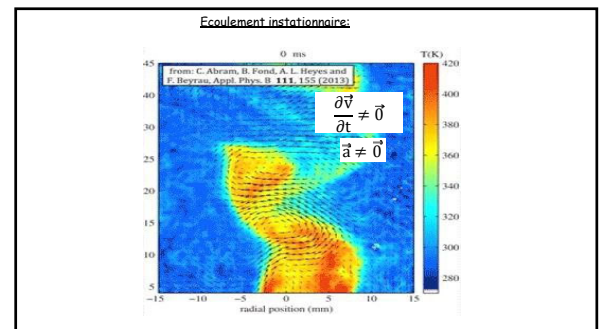
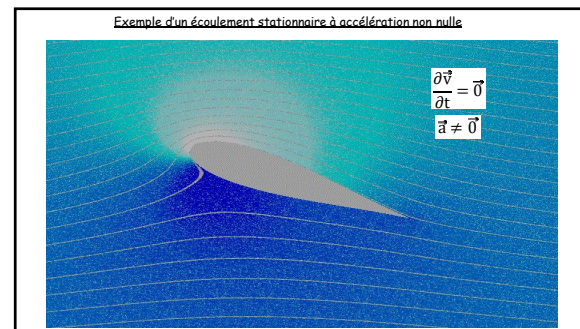
→ Les lignes tangentes en tout point au vecteur vitesse sont les lignes de courant au temps t

**Cinématique**  
Description d'Euler du champ de vitesse

Écoulement stationnaire: Soit une description d'Euler:  $\vec{v} = \vec{v}(x, y, z, t)$  ou  $\begin{cases} v_x = v_x(x, y, z, t) \\ v_y = v_y(x, y, z, t) \\ v_z = v_z(x, y, z, t) \end{cases}$

L'écoulement est stationnaire si:  $\left( \frac{\partial \vec{v}}{\partial t} \right)_{x,y,z} = \vec{0}$  Cette condition est facile à énoncer dans une description d'Euler

Pour un écoulement stationnaire, l'accélération est en général non nulle:  $\left( \frac{\partial \vec{v}}{\partial t} \right)_{x,y,z} \neq \vec{a}$  l'accélération ne se calcule pas directement dans une description d'Euler



## Cinématique

Description de Lagrange du champ de vitesse

Dans une description de Lagrange, on donne la vitesse d'une particule fluide en fonction du temps

On repère une particule fluide par ses coordonnées  $x_0, y_0, z_0$  à un instant  $t=t_0$

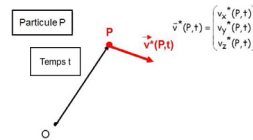
$$\vec{v} = \vec{v}(x_0, y_0, z_0, t) \quad \text{ou} \quad \begin{aligned} v_x &= v_x^*(x_0, y_0, z_0, t) \\ v_y &= v_y^*(x_0, y_0, z_0, t) \\ v_z &= v_z^*(x_0, y_0, z_0, t) \end{aligned}$$

$v_x^*, v_y^*, v_z^*$ : composantes de la vitesse **au temps  $t$**  d'une particule située en  $M_0(x_0, y_0, z_0)$  **au temps  $t_0$**

Dans la description d'Euler,  $v_x, v_y, v_z$  sont les composantes de la vitesse **au temps  $t$**  d'une particule située en  $M(x, y, z)$  **au temps  $t$**

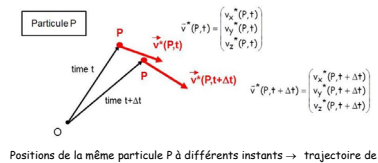
## Cinématique

Description de Lagrange du champ de vitesse



## Cinématique

Description de Lagrange du champ de vitesse



Expression simple de l'accélération dans la description de Lagrange:

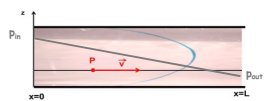
$$\vec{a} = \frac{d\vec{v}^*}{dt}$$

Expression de l'accélération dans la description d'Euler ?

## Cinématique

Dérivée particulaire d'une grandeur scalaire

Soit une particule fluide P se déplaçant à la vitesse  $\begin{pmatrix} v_x = v \\ 0 \\ 0 \end{pmatrix}$  dans un gradient de pression selon x



Comment varie la pression de la particule P au cours du temps ?

Avec une description d'Euler du champ de pression:  $p(x, y, z, t)$

La variation de  $p$  de la particule pendant le temps  $dt$  vaut:  $\frac{\partial p}{\partial t} dt + v \frac{\partial p}{\partial x} dx + \frac{\partial p}{\partial y} dy + \frac{\partial p}{\partial z} dz$

Où  $\begin{pmatrix} dx \\ dy \\ dz \end{pmatrix}$  est le vecteur déplacement de P pendant le temps  $dt$

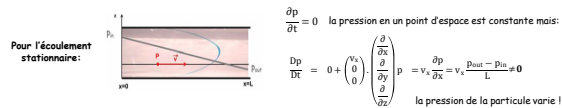
## Cinématique

Dérivée particulaire d'une grandeur scalaire

En divisant par  $dt$  on introduit la dérivée particulaire de la pression:

$$\frac{\partial p}{\partial t} + v_x \frac{\partial p}{\partial x} + v_y \frac{\partial p}{\partial y} + v_z \frac{\partial p}{\partial z} = \frac{Dp}{Dt}$$

L'opérateur:  $\frac{\partial}{\partial t} + \left( v_x \frac{\partial}{\partial x} + v_y \frac{\partial}{\partial y} + v_z \frac{\partial}{\partial z} \right) = \frac{D}{Dt} + \vec{v} \cdot \nabla = \frac{D}{Dt}$  est l'opérateur dérivée particulaire



## Cinématique

Dérivée particulaire

Attention à ne pas confondre l'opérateur scalaire:  $\vec{v} \cdot \nabla = v_x \frac{\partial}{\partial x} + v_y \frac{\partial}{\partial y} + v_z \frac{\partial}{\partial z}$

Avec la divergence du vecteur vitesse:  $\vec{\nabla} \cdot \vec{v} = \frac{\partial v_x}{\partial x} + \frac{\partial v_y}{\partial y} + \frac{\partial v_z}{\partial z}$  qui n'est pas un opérateur !

L'opérateur  $\vec{v} \cdot \nabla$  peut être appliqué à un champ vectoriel  $\vec{u}$ :  $(\vec{v} \cdot \nabla) \vec{u} = \begin{pmatrix} (\vec{v} \cdot \nabla) u_x \\ (\vec{v} \cdot \nabla) u_y \\ (\vec{v} \cdot \nabla) u_z \end{pmatrix}$

Expression de l'accélération dans la description d'Euler:

$$\vec{a} = \frac{D\vec{v}}{Dt} = \frac{\partial \vec{v}}{\partial t} + (\vec{v} \cdot \nabla) \vec{v} = \begin{pmatrix} \frac{\partial v_x}{\partial t} + v_x \frac{\partial v_x}{\partial x} + v_y \frac{\partial v_x}{\partial y} + v_z \frac{\partial v_x}{\partial z} \\ \frac{\partial v_y}{\partial t} + v_x \frac{\partial v_y}{\partial x} + v_y \frac{\partial v_y}{\partial y} + v_z \frac{\partial v_y}{\partial z} \\ \frac{\partial v_z}{\partial t} + v_x \frac{\partial v_z}{\partial x} + v_y \frac{\partial v_z}{\partial y} + v_z \frac{\partial v_z}{\partial z} \end{pmatrix} \quad \text{Equation d'Euler:}$$

$$\rho \frac{D\vec{v}}{Dt} = \rho \vec{g} - \vec{\nabla} p$$

## ECUST

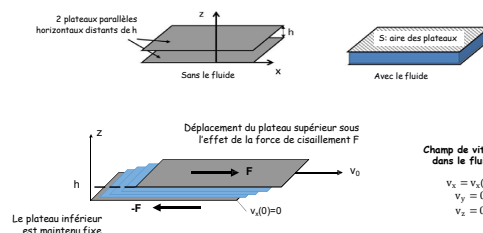
## Mécanique des Fluides

## Partie E

## Notions sur la viscosité

## Notions sur la viscosité

Ecoulement de cisaillement simple

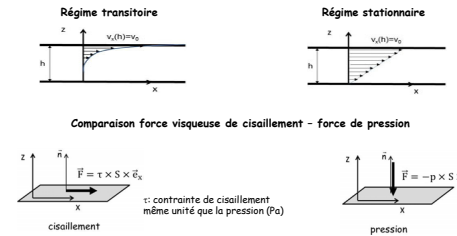


Champ de vitesse dans le fluide

$$\begin{aligned} v_x &= v_x(z) \\ v_y &= 0 \\ v_z &= 0 \end{aligned}$$

## Notions sur la viscosité

Ecoulement de cisaillement simple



**Notions sur la viscosité**  
Ecoulement de cisaillement simple

Force  $F$  proportionnelle à  $S$  et à  $v_0$ ,  
inversement proportionnelle à  $h$

$$F \propto S \quad F \propto v_0 \quad F \propto h^{-1}$$

$$F = S \times \frac{dv_x}{dz} \times Cst$$

Où:  $\frac{F}{S} = \frac{v_0}{h} \times Cst$  **Viscosité  $\eta$**

Contrainte de cisaillement  $\tau$  Gradient de vitesse ou taux de cisaillement  $\dot{\gamma}$

Relation fondamentale des fluides visqueux:  $\tau = \eta \times \dot{\gamma}$

Lai de Newton qui définit la viscosité dynamique  $\eta$

Définition: un fluide **newtonien** est tel que sa viscosité est constante:  $\eta$  ne dépend pas de  $\dot{\gamma}$

**Notions sur la viscosité**  
Ecoulement de Poiseuille entre plans parallèles - fluides incompressibles

Si les plateaux sont fixes et en présence d'un gradient de pression dans la direction  $x$

$v_x = v_x(z)$   
 $v_y = 0$   
 $v_z = 0$

$p(x=0) = p_0$   
 $p(x=L) = p_L < p_0$

La vitesse est maximale au milieu des plateaux

Le taux de cisaillement  $\dot{\gamma} = \frac{dv_x(z)}{dz}$  varie en fonction de  $z$

Pour un liquide newtonien  $\tau = \eta \times \frac{dv_x(z)}{dz}$  avec  $\eta = Cst$

**Notions sur la viscosité**  
Ecoulement de Poiseuille entre plans parallèles - fluides incompressibles

Forces exercées sur une particule fluide  $dx dy dz$

**Forces de pression selon  $x$**

Somme des deux forces:  $(p(x, y, z) - p(x + dx, y, z)) dy dz = -\frac{\partial p}{\partial x} dx dy dz = -\frac{\partial p}{\partial x} dV$

**Notions sur la viscosité**  
Ecoulement de Poiseuille entre plans parallèles - fluides incompressibles

Forces exercées sur une particule fluide  $dx dy dz$

**Forces de frottement selon  $x$**

Somme des deux forces:  $(\tau(z + dz) - \tau(z)) dx dy = \frac{d\tau(z)}{dz} dx dy dz = \eta \frac{d^2 v_x(z)}{dz^2} \times dV$

Liquide newtonien  $\eta = Cst$

**Notions sur la viscosité**  
Ecoulement de Poiseuille entre plans parallèles - fluides incompressibles

2ème loi de Newton sur la particule fluide  $dx dy dz$ :

$$dm \times \ddot{x} = dm \times \ddot{g} + d\vec{F}(\text{pression}) + d\vec{F}(\text{frottement})$$

Projection selon  $x$  ( $a_x = 0$ ):  $0 = -\frac{\partial p}{\partial x} dV + \eta \frac{d^2 v_x(z)}{dz^2} dV$

Gradient de pression  $\frac{\partial p}{\partial x}$  constant:

$$\eta \frac{d^2 v_x(z)}{dz^2} = \frac{p_L - p_0}{L}$$

Double intégration  $\rightarrow$  champ de vitesse parabolique

**Notions sur la viscosité**  
Cas d'un écoulement quelconque - fluides incompressibles et newtoniens

2ème loi de Newton sur la particule fluide  $dx dy dz$ :

$$dm \times \ddot{x} = dm \times \ddot{g} + d\vec{F}(\text{pression}) + d\vec{F}(\text{viscosité})$$

$\ddot{x} = \frac{Dv}{Dt} = \frac{\partial v}{\partial t} + v \frac{\partial v}{\partial x} + w \frac{\partial v}{\partial y} + u \frac{\partial v}{\partial z}$

$\frac{\partial p}{\partial x} dV \rightarrow -\nabla p \times dV$

$\eta \frac{d^2 v_x}{dz^2} dV \rightarrow \eta \nabla^2 v_x \times dV$

Laplacien de la vitesse:  $\nabla^2 v = \nabla \cdot \left( \frac{\partial v}{\partial x} \right) = \left( \frac{\partial^2 v_x}{\partial x^2} + \frac{\partial^2 v_x}{\partial y^2} + \frac{\partial^2 v_x}{\partial z^2} \right)$

En divisant par  $dV$ :  $\rho \frac{Dv}{Dt} = \rho \ddot{g} - \nabla p + \eta \nabla^2 v$

**Équation de Navier-Stokes**  
Équivalent de l'équation d'Euler pour les fluides réels incompressibles et newtoniens

**Notions sur la viscosité**  
Ecoulement de Poiseuille dans une conduite cylindrique horizontale

L'écoulement est décrit en coordonnées cylindriques  $(r, \theta, z)$

**Hypothèses sur le champ de vitesse:**

Vitesse selon l'axe  $z$ :  $v_r = 0 \quad v_\theta = 0 \quad v_z = v_z(r)$

Symétrie cylindrique:  $v_z = v_z(r)$

$v_z$  indépendant du temps (écoulement stationnaire)

Condition aux limites:  $v_z(r=R) = 0$   
« non-glissement » à la paroi

**Hypothèses sur le fluide:**

Incompressible:  $\rho = Cst$

Newtonien:  $\eta = Cst$

$z$  est l'axe de la conduite et non l'axe vertical !!

**Notions sur la viscosité**  
Ecoulement de Poiseuille dans une conduite cylindrique horizontale

**Bilan macroscopique**  
(équivalent équation d'Euler)

**Système:**  
Volume de contrôle de rayon  $r$  ( $0 \leq r \leq R$ ) et de longueur  $L$

Système ouvert

La vitesse de chaque particule est constante

$\rightarrow$  accélération nulle pour toutes les particules

$\rightarrow$  Somme des forces exercées sur le système = 0

Forces pour un fluide réel: Poids, forces de pression, forces de frottement

**Notions sur la viscosité**  
Ecoulement de Poiseuille dans une conduite cylindrique horizontale

Poids du fluide dans le système:  $-\rho \times g \times \pi r^2 L$   
Selon un axe vertical orienté vers le haut

Projection sur l'axe de la conduite = 0

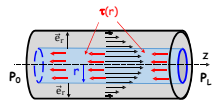
Hypothèse: la pression dépend uniquement de  $z$ :  $p = p(z)$

Résultante des forces de pression projetée sur l'axe  $z$ :  $p_0 \times \pi r^2 - p_L \times \pi r^2$

$p_0 = p_{\text{entrée}}$   $p_L = p_{\text{sortie}}$

Notions sur la viscosité  
Ecoulement de Poiseuille dans une conduite cylindrique horizontale

Force de frottement visqueuse au rayon  $r$ : surface:  $S(r) = 2\pi rL$



Résultante des forces visqueuses projetée sur z

$$F(r) = \tau(r) \times S(r) = \tau(r) \times 2\pi rL$$

Permet de calculer la contrainte en fonction de  $r$ :

$$\tau(r) = \frac{r}{2} \times \frac{P_L - P_0}{L}$$

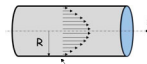
Bilan des forces:  
 $(P_0 - P_L) \pi r^2 + \tau(r) 2\pi rL = 0$

Résultat également valide pour des fluides non newtoniens

Notions sur la viscosité  
Ecoulement de Poiseuille dans une conduite cylindrique horizontale

D'après la loi de Newton:  $\tau = \eta \gamma = \eta \frac{dv}{dr}$   $\eta \frac{dv}{dr} = \left[ \frac{P_L - P_0}{L} \right] \times \frac{r}{2}$  Ce qui s'intègre si  $\eta = \text{Cst}$

Pour un fluide newtonien:  $v(r) = \left[ \frac{P_L - P_0}{4\eta L} \right] \times r^2 + \text{Cst}$  La constante se détermine à partir des conditions aux limites



Condition de non-glissement à la paroi  $v(r=R) = 0$

$$v(r) = \frac{1}{4\eta L} \left[ \frac{P_L - P_0}{L} \right] \times (r^2 - R^2)$$

Profil de vitesse parabolique

Notions sur la viscosité  
Ecoulement de Poiseuille dans une conduite cylindrique horizontale

Le débit volumique  $D_v$  s'obtient en intégrant la vitesse sur la section:  $D_v = \int_S v dS = \int_0^R v(r) \times 2\pi r dr$  avec  $v(r) = \frac{1}{4\eta L} \left[ \frac{P_L - P_0}{L} \right] \times (r^2 - R^2)$

Le résultat est la loi de Hagen-Poiseuille:  $D_v = \frac{\pi R^4}{8\eta L} \frac{P_L - P_0}{L}$

Le débit est opposé au gradient de pression

Dans une conduite horizontale, le fluide s'écoule des hautes pressions vers les basses pressions

Rappel des hypothèses pour la loi de Poiseuille: fluide incompressible et newtonien

De plus, il faut que la symétrie du champ de vitesse soit vérifiée ( $v_z(r)$ )

**Ce qui est la cas quand l'écoulement est laminaire**

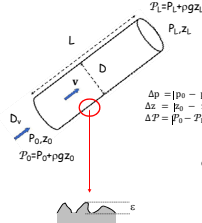
ECUST

**Mécanique des Fluides**

**Partie F**

Analyse dimensionnelle - régimes laminaire et turbulent

Analyse dimensionnelle  
Ecoulement de Poiseuille dans une conduite cylindrique



A partir de tous les paramètres de l'écoulement:

- Longueur  $L$  et diamètre interne  $D$  de la conduite
- Différence de pression  $\Delta P$ , d'altitude  $\Delta z$ , de pression motrice  $\Delta P$
- Débit volumique  $D_v$ , vitesse moyenne  $v$
- Viscosité dynamique  $\eta$ , masse volumique  $\rho$
- Accélération de la pesanteur  $g$
- Rugosité  $\epsilon$  de la surface interne

L'analyse dimensionnelle permet d'obtenir les nombres adimensionnels caractéristiques du problème, ici au nombre de 3:

$\frac{\rho v D}{\eta} = \text{Re}$	$\frac{\Delta P}{\frac{1}{2} \rho v^2 \times \frac{4L}{D}} = f$	$\frac{\epsilon}{D}$
Nombre de Reynolds	Facteur de frottement	Rugosité relative

Analyse dimensionnelle  
Ecoulement de Poiseuille dans une conduite cylindrique

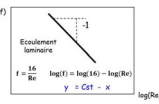
La solution générale du problème est une relation entre  $f$ ,  $\text{Re}$  et  $\frac{\epsilon}{D}$ :  $f = f\left(\text{Re}, \frac{\epsilon}{D}\right)$

Si l'écoulement est laminaire, la solution est connue (Hagen-Poiseuille):  $D_v = \frac{\pi D^2}{4} v = \frac{\pi D^4 \Delta P}{128 \eta L} \Rightarrow \frac{D^2 \Delta P}{\eta v L} = 32$

Relation entre  $f$ ,  $\text{Re}$  et  $\frac{\epsilon}{D}$ :  $f \times \text{Re} = \frac{\Delta P}{\frac{1}{2} \rho v^2 \times \frac{4L}{D}} \times \frac{\rho v D}{\eta} = \frac{D^2 \Delta P}{2 \eta v L} = 16$

Relation en régime laminaire:

Représentation graphique en échelles logarithmiques (de Moody)



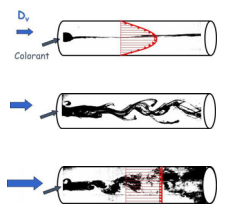
Écoulement laminaire

$f = \frac{16}{\text{Re}}$   $f$  indépendant de  $\frac{\epsilon}{D}$

$y = \text{Cst} - x$   $\log(\text{Re})$

Analyse dimensionnelle  
Ecoulement de Poiseuille dans une conduite cylindrique - régimes d'écoulement

Expériences de Reynolds (1883)



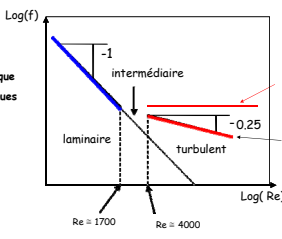
$\text{Re} < 1700$  Régime laminaire- loi de Poiseuille vitesse parabolique  $D_v \sim \mu \frac{\Delta P}{L}$  indépendant de  $\frac{\epsilon}{D}$

$1700 < \text{Re} < 4000$  Régime intermédiaire instabilités

$\text{Re} > 4000$  Régime turbulent vitesse quasi-uniforme  $D_v \sim \sqrt{\Delta P}$  et fonction de  $\frac{\epsilon}{D}$

Analyse dimensionnelle  
Ecoulement de Poiseuille dans une conduite cylindrique - régimes d'écoulement

Représentation graphique en échelles logarithmiques (de Moody)



$f = \frac{\Delta P}{\frac{1}{2} \rho v^2 \times \frac{4L}{D}}$

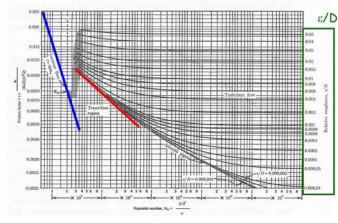
Résultats de Reynolds  $\Delta P \sim D_v^2 \Rightarrow f \sim \text{Cst}$

Mesures plus précises

$\text{Re} = 1700$   $\text{Re} = 4000$

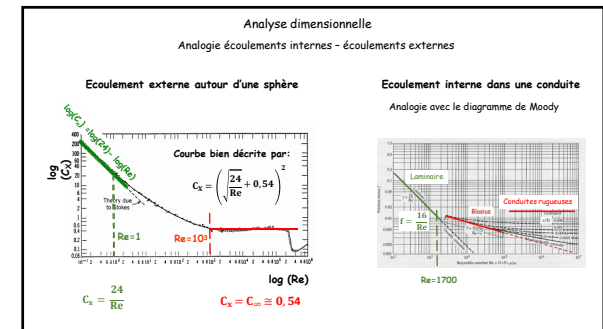
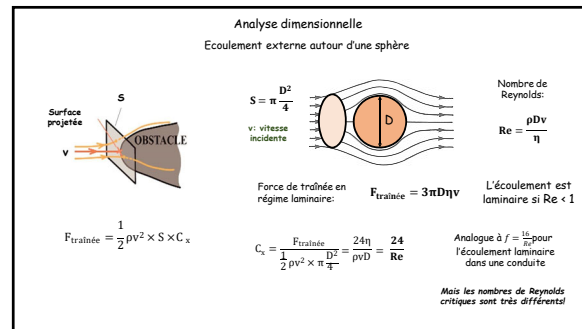
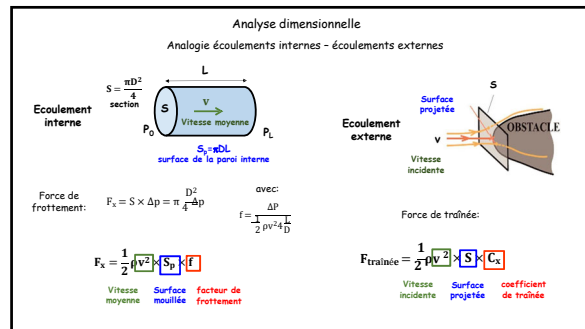
Analyse dimensionnelle  
Ecoulement de Poiseuille dans une conduite cylindrique - régimes d'écoulement

Diagramme de Moody avec dépendance en rugosité relative



$\epsilon/D$





ECUST

**Mécanique des Fluides**

**Partie G**

Quelques notions sur les pompes

